

Stopping Power of Electrons for Bone tissue, Lung and platinum

قدرة ايقاف الالكترونات في انسجة العظم و الرئة و عنصر البلاتين

م.م أحلام حبيب حسين أ.م.د.أحمد جمعة مهوس
جامعة الكوفة / كلية التربية للبنات / جامعة الكوفة / كلية الطب / جامعة الكوفة / كلية التربية للبنات

الخلاصة :

في هذا البحث تم دراسة قدرة ايقاف الالكترونات التصادمية والاشعاعية والكلية نظرياً بأعتماد معادلة بيت بلوخ المعدلة . حيث قصف نسيجي العظم والرئة بالإضافة الى عنصر البلاتين وبمدى طاقة مستخدم MeV (0.01-100) و باستعمال قاعدة برانك للمركبات وباستخدام لغة (MATLA). وقد بينت النتائج التي حصلنا عليها ان قدرة الایقاف التصادمية المهيمنة على الاشعاعية من قدرة الایقاف الكلية لذ تم مقارنتها مع النتائج العملية لبرنامح estar واتضح لنا بأنها تتطابق جيداً مع القيم العلمية.

الكلمات المفتاحية: معادلة بيت-بلوخ ، الاشعاعية ، التصادمية ، العظم ، الرئة ، البلاتين ، برنامج اي ستار .

Abstract :

In present research of collisional $(-\frac{dE}{dx})_{coll}$ and radiative $(-\frac{dE}{dx})_{rad}$ stopping powers for electrons and the total stopping power was calculated theoretically for electrons by using modified Bethe-Bloch theory and projectiles (Lung tissue , Bone tissue) and Platinum element in energy range MeV (0.1-100)MeV by using Bragg's Rule for compounds. Also programming the Eqs.using (MATLAB) language. The results showing a that the collisional stopping power is the dominate along the energy interval of incident electrons than the radiative stopping power of the total stopping power the calculations were compared with the experimental data of the estar this comparison showed a good agreement with the experimental data.

Keywords: Theoretical Physics, Bethe-Bloch , radiative ,collision, Bone, lung , Platinum , estar code.

1-المقدمة:

إن قدرة الإيقاف التي عرفت بأنها الطاقة المفقودة للجسيمة الساقطة خلال وحدة المسار، هي نتيجة لاختراق الجسيمات المشحونة المعجلة لمادة الوسط وتفاعلها مع نوى الالكترونات ذرات مادة ذلك الوسط . وعليه يمكن تقسيمها إلى قدرة الإيقاف الناتجة عن خسارة الطاقة بسبب التصادمات غير المرنة بين الجسيمات المشحونة الساقطة وبين الالكترونات ذرات الهدف ، وقدرة الإيقاف الإلكترونية الناتجة عن خسارة الطاقة بسبب التفاعلات المرنة لنوى الهدف مع الجسيمات الساقطة لتعطى أشعة الكبح حيث تعطي قدرة الإيقاف الكلية للالكترونات [1] [2].

$$(-\frac{dE}{dx})_{tot} = (-\frac{dE}{dx})_{coll} + (-\frac{dE}{dx})_{rad} \quad (1)$$

إذ إن

$(-\frac{dE}{dx})_{tot}$ – تمثل قدرة الإيقاف الكلية .

$(-\frac{dE}{dx})_{coll}$ – تمثل قدرة الإيقاف عن طريق التصادمات.

$(-\frac{dE}{dx})_{rad}$ – تمثل قدرة الإيقاف عن طريق الأشعة . وهذه العلاقة تمثل فقدان الطاقة عن طريق الأشعة تكون صالحة عندما تكون طاقة الالكترونات كبيرة أي ان $E \gg m_0 c^2$ ، أما اذا كانت طاقة الالكترون صغيرة فإنه يهمل فقدان الطاقة عن طريق الأشعة وتقسم الجسيمات المشحونة الى نوعين مشحونة خفيفة وتشمل الالكترونات والبوزترونات ومشحونة ثقيلة مثل البروتونات وجسيمات الفا[3] . وبعد العالم هانز بيت عام 1930 [4] أول من حسب قدرة الإيقاف الإلكترونية باستخدام الميكانيك الكمي حيث درس فقدان الطاقة الالكترونية لسنوات عديدة بسبب تطبيقها المباشر في المشاكل المتعلقة بالطبع وفيزياء البلازما وقد تحسنت المعالجة النظرية لفقدان الطاقة في الاصطدامات الذرية تحسناً كبيراً خلال العقود الماضية وقد تم دراستها تجريبياً ونظرياً منذ بداية القرن العشرين بسبب مجال تطبيقها الواسع في الفيزياء النووية وأضرار الأشعاع [5] حيث قام الباحث

S. Ramesh Babu واخرون بقياس فقدان الطاقة للإلكترونات النسبية في رقائق الالمنيوم لفهم آلية تفاعل الإلكترونات مع المادة، وعند طاقة keV (948-1022) حيث يسمح للإلكترونات الداخلية المتبعثة من مصدر ^{207}Bi بالمرور غير رقائق الالمنيوم ذات الأسماك المختلفة وتتم مقارنة نتائجه مع القيم النظرية لبرنامج estar [6].

وأيضاً قامت الباحثة N. I. Mahmood بحساب قدرة الإيقاف لأهداف صلبة باعتمادها على معادلة شبه تجريبية لباحث سابق ومختارة لأهداف سائلة وقد تم تعديل في بعض قيم المعامل المستخدم بالمعادلة وقد بين أن قدرة الإيقاف المحسوبه بالمعادلة تناسب مع النتائج العلمية المنشورة [7]. وكذلك قامت الباحثة S.M. Aman Allah المنكونة من قدرة الإيقاف الأشعاعية والتصاصمية للإلكترونات وباستخدام معادلة بيت وبينت النتائج أن قدرة الإيقاف التصاصمية هي المهيمنة على القراءة الأشعاعية [8]. وقد تم استبطان صيغة شبه تجريبية لقراءة الإيقاف الكلية للإلكترونات النسبية من قبل S. Ramesh Babu واخرين عند مدى طاقة kev (950-1050) ولعدد من المواد التي تتراوح اعدادها الذرية (82-10) وحصل على قدرة الإيقاف الكلية من خلال مرور ^{207}Bi خلال المواد المختارة وكذلك وضع الاختلاف لقدرة الإيقاف مع اعداد الذري للمادة فوضع معادلة اسيّة من الدرجة الاولى وقارن النتائج مع برنامج Batra's وصيغة estar وناقش تطبيق هذه المعادلة لاي عدد ذري ولا يعينه او مركب [9].

2- قدرة الإيقاف التصاصمية

عند سقوط الجسيمات المشحونة الخفيفة كالإلكترونات والبوزترونات على المادة تنتقل طاقة الجسيمات الساقطة إلى المادة تدريجياً إلى أن تتوقف الجسيمات الساقطة ويحدث هذا عن طريق التصادمات غير المرنة مع الكترونات مادة الهدف التي تسقط عليها الجسيمات وينتج عن هذه التصادمات انتقال الكترون من مداره إلى مدار آخر أعلى طاقة منه أو تأينه أي انفصال الكترون عن ذره [2].

ويمكن الحصول على القيمة النظرية لقدرة الإيقاف التصاصمية للإلكترونات من العلاقة التالية [10].

$$-\frac{dE}{dx_{\text{col}}} = \frac{4\pi r_e^2 m_e c^2 n z}{\beta^2 A} \left[\ln \frac{m_e c^2 \tau \sqrt{\tau + 2}}{I \sqrt{2}} + f(\beta) \right] \quad (2)$$

$$f(\beta) = \frac{1 - B^2}{2} \left[1 + \frac{\tau^2}{2} - (2\pi + 1) \ln 2 \right] \quad (3)$$

$$\beta = v/c$$

حيث ان τ تساوي الطاقة الحركية للإلكترون مقسوماً على $m_e c^2$

$$\tau = \frac{E}{m_e c^2}$$

حيث ان r_e نصف قطر الإلكترون
A العدد الكثلي لمادة الهدف
Z العدد الذري لمادة الهدف
I جهد التأين للهدف

$$n = N_A Z \rho / A M_n \quad [10]$$

حيث ان N_A عدد افكاردو
M كثافة المادة الهدف
Z العدد الذري
 M_n ثابت الكثافة المولية

و عند تعويض قيمة n في معادلة (2) نحصل على معادلة ابسط [11]

$$-\frac{dE}{dx} = \frac{5.08 \times 10^{-31}}{\beta^2} \left(\ln \frac{3.61 \times 10^5 \tau \sqrt{\tau + 2}}{I} + f(\beta) \right) \quad (4)$$

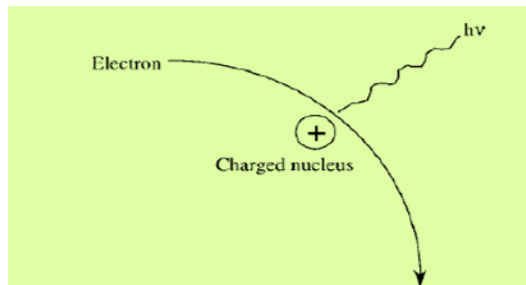
3- قدرة الإيقاف الأشعاعية

طبقاً لقوانين الكهروديناميكا عند تعجيل جسيم مشحون فإنه يصدر اشعاع كهرومغناطيسي. فعند مرور الكترون بالقرب من النواة ينحرف مساره وهو بمثابة التعجيل حيث ينتج عنه اشعاعات كهرومغناطيسية تعرف بأشعة الكبح وتؤدي إلى فقد الإلكترون طلقته ولا يحدث فقدان للطاقة على نواة النزرة فقط وإنما يحدث على الإلكترونات المدارية كما في الشكل (1)[2].

ويمكن التعبير عنها بالمعادلة التالية [2]

$$-\frac{dE}{dx_{rad}} = -\frac{dE}{dx_{col}} \left(\frac{zT}{800} \right) \quad (5)$$

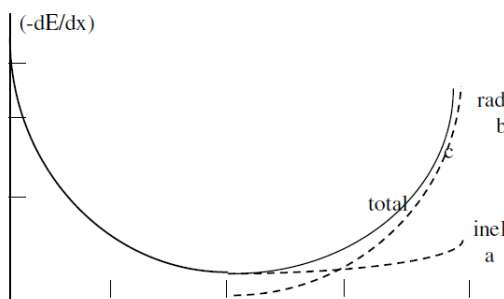
حيث ان z تمثل العدد الذري للهدف ، T الطاقة للإلكترون او البوزترون



الشكل (1) يوضح قدرة الإيقاف الإشعاعية

فبعد تعويض معادلة (2) و(5) في معادلة رقم (1) نحصل على قدرة الإيقاف الكلية والشكل التالي

$$-\frac{dE}{dx_{total}} = -\frac{dE}{dx_{col}} \left(1 + \frac{zT}{800} \right) \quad (6)$$



الشكل (2) تمثل (a) قدرة الإيقاف التصادمية و (b) قدرة الإيقاف الإشعاعية (c) قدرة الإيقاف الكلية دالة للطاقة النتائج والحسابات:

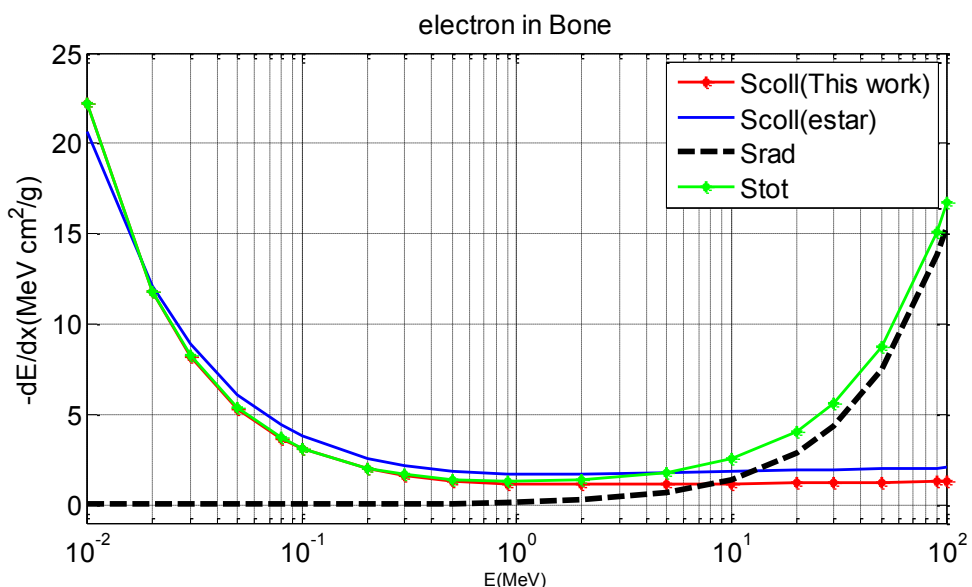
ان معرفة قيم قدرة الإيقاف امر ضروري لاستخداماتها في العلاج بالأشعة او استخدامها في الصناعات لذا تم استخدام بعض انسجة العظم والرئة وعنصر البلاتين لدراستها.

حيث تم استخدام برنامج الماتلاب لبرمجة معادلة بيت بلوك المعدلة للإلكترونات لحساب معدل الطاقة المفقودة خلال وحدة المساحة ، لحساب قدرة الإيقاف التصادمية تم استخدام معادلة (3) بعد تعويضها بمعادلة (2) واستخدمت المعادلة (5) لقدرة الإيقاف الإشعاعية و معادلة (6) للكلية .

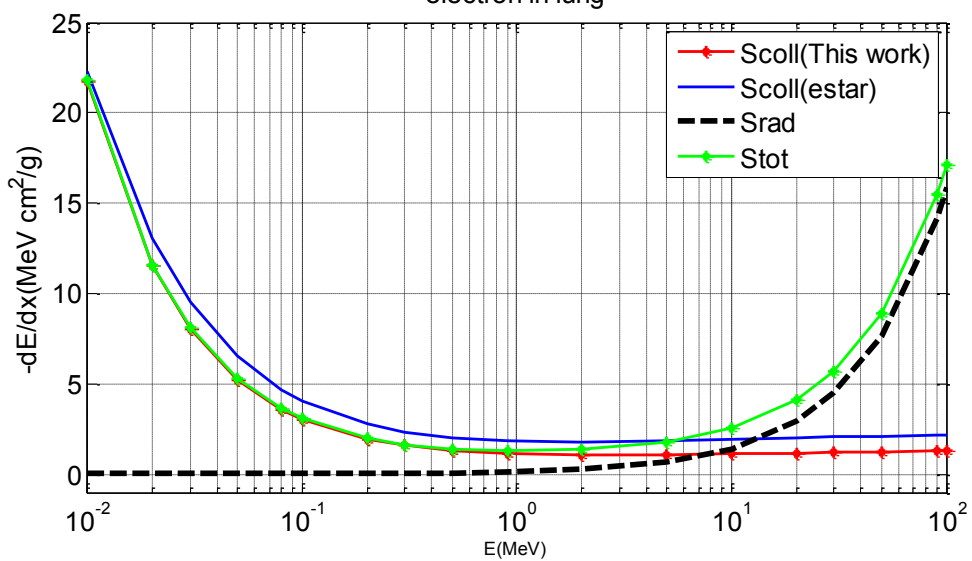
حيث ان القدرة التصادمية وهي التي تنتج عن طريق التصادم الذي يحدث بين الجسيمات الساقطة مع الكترونات ذرات الوسط مما يؤدي إلى تهيج أو تأين ذرات ذلك الوسط فأنها تقل بزيادة طاقة وسرعة الجسيمة الساقطة نلاحظ من الشكل a و b عندما يكون الوسط نسيج العظم النتائج تكون متقاربة مع القيم العملية تقريبا عند بداية المدى ولكنها تصل لحد الانطباقي عند طاقة 0.02 MeV وبعدها عند زيادة الطاقة تبتعد نتائج $\frac{dE}{dx_{col}}$ قليلاً اما عندما يكون الوسط نسيج الرئة فأنها تبدأ منطبقه عند بداية المدى اي

عند 0.01 MeV ثم تبدأ بالابتعاد قليلاً عن النتائج العملية قليلاً مما يتطلب ادخال بعض التصحيحات اما عندما يكون الوسط عنصر البلاتين الشكل (c) فأنها تبتعد قليلاً عن النتائج العملية من بداية الى نهاية المدى المستخدم . ولكن

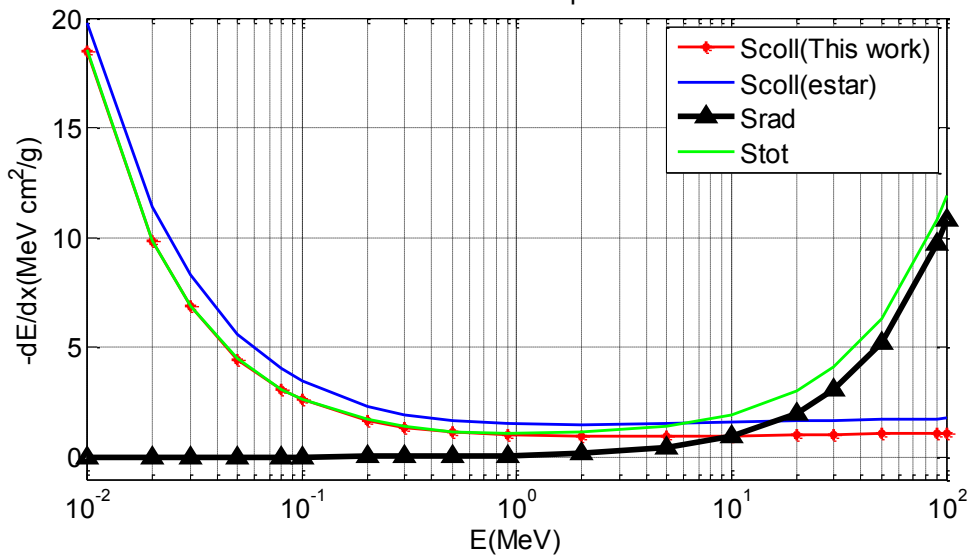
عند فترة محددة من الشكل تكون فيها النتائج لقدرة الإيقاف التصادمية والإشعاعية والكلية متقاربة تقريبا اي من 5-10 MeV وتشير النتائج الحالية إلى $\frac{dE}{dx_{rad}}$ تزداد مع زيادة طاقات الجسيمات الساقطة، ويمكن تفسير هذا السلوك انه سوف تقترب من المجال النووي للنرة المستهدفة بسبب التناقض الكولومبي بين القذيفة والجسيمات المستهدفة



الشكل (a) يبين العلاقة بين قدرة الایقاف الالكترونات كدالة للطاقة في نسيج العظم ومقارنتها مع نتائج estar



الشكل (b) يبين العلاقة بين قدرة الایقاف الالكترونات كدالة للطاقة في نسيج الرئة ومقارنتها مع نتائج estar



الشكل (c) يبين العلاقة بين قدرة الایقاف الالكترونات كدالة للطاقة في عنصر البلاتين ومقارنتها مع نتائج estar

الاستنتاج:

- 1- هيمنة قدرة الإيقاف التصادمية على قدرة الإيقاف الأشعاعية لقيم قدرة الإيقاف الكلية إذا تم مقارنتها مع النتائج العملية
- 2- ان المعادلة المستخدمة يمكن ان نستخدم لعلاج النسيج المصايب بالاكترونات لنقارب نتائجها مع القيم العملية للأنسجة المستخدمة.
- 3- ان المعادلة المستخدمة تصلح لحساب قدرة الإيقاف التصادمية لاوساط المختارة في البحث وعند المدى المستخدم وبنسبة خطأ بسيطة .

المصادر

- [1] R. A. Abbad "Analytical Study of the Specific energy loss and radiation length X0 of Positron for Chromium Cr ", Journal of Natural Sciences Research Vol.3, No.15(2013)
- [2] W.E.meyerhof"elements of nuclar physics" condon university of colorado, (1967).
- [3]W. AL kazraji , "Energy Stopping Power and Straggling On Swift Ions Near Plan Surfore" , M.Sc. Thesis , AL – Mustansiriya University , (2000) .
- [4] P.Sigmund and A.Schinner, "Binary theory of light Ion stopping ", PrepSubm, Nucl. Instr and Meth.B,Vol.193(2002).
- [5] P. L.Grande, G. Schiawetz,"The unitary convolution approximation for heavy ions" Nucl.Inst.and Meth.In physics Research,B, 195 (2002) .
- [6] S. Ramesh Babu, N. M. Badiger" Measurement of Energy Loss of Relativistic Electrons in Aluminum Foil" American Journal of Science and Technology (2015) .
- [7] N. I. Mahmood " Stopping Power of (1.895-7.4 MeV) ${}^4\text{He}$ Ions in Composite Foils and Pure Elements " Raf. Jour. Sci., Vol. 16, No. 1 (2005).
- [8] S.M. Aman Allah, N. A. Shafeek Abbass and B. K. Sullyman "Study the total Stopping Power of electrons in Beryllium " diyala journal for pure sciences Vol: 13 No:2 (2017)
- [9] S. Ramesh Babu, N.M. Badiger" Semi empirical formula to calculate MSP of relativistic electrons in the range of 940 keVe1020 keV" Journal of Radiation Research and Applied SciencesVol.9 (2016)
- [10] M.J. Berger and S.M. Seltzer "Stopping powers and ranges of electrons and positrons"National Bureau of Standards Report NBSIR 82-2550 A (1982).
- [11] S. Mahmoud, E. Mohamad and R. Abduala" Estimation Of the Total Energy Loss of Positrons in Copper and Nickel" Journal of Babylon University/Pure and Applied Sciences/ No.(7)/ Vol.(22)(2014).